

## بررسی رفتار دیوارهای برشی فولادی بدون سخت کننده در سازه‌های بلند

کارشناس ارشد سازه، دانشگاه صنعتی سهند، تبریز  
استاد دانشکده مهندسی عمران، دانشگاه صنعتی سهند، تبریز

مرآت اقبالیان  
کریم عابدی

### چکیده

دیوارهای برشی فولادی سیستم سازه‌ای جدیدی هستند که در ۳ دهه‌ی اخیر بدلیل خصوصیات مناسب لرزه‌ای در ساختمان‌های بلند و در مناطق با خطر لرزه خیزی زیاد مورد استفاده قرار گرفته‌اند. این دیوارها به دو صورت تقویت شده و بدون تقویت اجرا می‌شوند. نوع تقویت نشده‌ی آن بدلیل استفاده کامل از ظرفیت ورق، جزئیات اجرائی ساده و هزینه‌ی کم، گزینه‌ی مناسب‌تری برای استفاده در سازه‌های بلند می‌باشد. برای طراحی این سیستم ۳ روش طراحی وجود دارد که در هر ۳ روش، طراحی بر اساس برش انجام شده و از اثر خمش صرف‌نظر می‌شود. در ساختمان‌های بلند بدلیل ارتفاع زیاد سازه، علاوه بر نیروهای برشی، نیروهای خمشی قابل توجهی در دیوارهای برشی بوجود می‌آید. در این مطالعه به کمک روش عناصر محدود و تحلیل‌های غیرخطی هندسی و مصالح، رفتار خرایی دیوارهای برشی فولادی تقویت نشده در سازه‌های بلند مورد بررسی قرار گرفته است. نتایج بدست آمده از تحلیل‌ها، نشان دهنده‌ی ناکارامدی روش‌های موجود طراحی دیوارهای برشی فولادی در سازه‌های بلند می‌باشد. با توجه به این مطلب پیشنهاداتی از قبیل اصلاح شرایط مرزی از طریق به کارگیری سیستم‌های سازه‌ای مناسب و همچنین اصلاح روش طراحی، جهت کاربرد این سامانه در سازه‌های بلند ارائه شده است. تحلیل‌های غیرخطی هندسی و مصالح انجام شده، مؤثر بودن این راهکارها را تائید می‌کنند.

**کلمات کلیدی:** دیوارهای برشی فولادی، تحلیل غیرخطی، عناصر محدود، کمانش الاستیک، میدان کشش قطری، ساختمان‌های بلند.

## Investigation in to the Behavior of Unstiffened Steel Shear Walls in Tall Buildings

M. Eghbalian and K. Abedi

Civil Engineering Faculty Sahand University of Technology, Tabriz

### Abstract

In past decades, steel shear walls (SSWs) have been used as a new lateral resistance structures in tall buildings and high seismic risk regions due to appropriate seismic specifications. SSWs are constructed in two forms of unstiffened and stiffened types. The unstiffened form is the best choice for designers, because of its simple constructional details and lower cost. There are three types of design procedures for SSWs. in all procedures, the designing process is performed Base on shear strength, and the bending strength is neglected. In tall buildings, significant bending forces occur in addition to shear forces. Hence in the present study, the behavior of SSWs in tall buildings was assessed, by applying into account both bending forces and shear forces. The analysis was performed by advanced nonlinear finite element program ANSYS®. The analysis results represented incapability of current SSWs design procedure in tall buildings. Some recommendations including modifying boundary conditions using feasible structural systems and modifying design procedure, in order to implementing this type of resistance systems, were proposed. The performed nonlinear collapse analysis demonstrates the effectiveness, reliability and validity of the proposed approach.

**Key words:** Durability, Steel shear walls, Nonlinear analysis, Finite element modeling, Elastic buckling, Diagonal tension field, Tall building.

**۱- مقدمه**

سیستم قابل لمس تر است. بطور مثال در آزمایشات انجام شده بر روی نمونه های یک طبقه و چهار طبقه توسط Lubell [۹]. تاکنون سه روش جهت طراحی دیوارهای برشی فولادی پیشنهاد شده است، در روش اول که روش طراحی آینه نامه کانادا است و روش دوم که روش المان معادل خربیایی پیشنهاد شده توسط Elgaaly است، دیوارهای برشی فولادی بصورت المان های نواری مدل سازی می شوند که این المان ها فقط تحت اثر نیروهای کششی می باشند. اولین نکته در این نوع مدل سازی، صرف نظر کردن از اندر کنش بین ورق پر کننده و قاب محیطی می باشد [۱۱] و [۴].

در روش سوم که روش طراحی ارائه شده توسط صبوری-Roberts و به روش (Plate Frame Interaction) PFI معروف است، با وجود اینکه اندر کنش بین قاب و ورق در نظر گرفته شده است ولی یکی از فرضیات اساسی در این روش ناچیز بودن اثر خم شدن می باشد [۱۲].

### **۳- مدل سازی عناصر محدود دیوار برشی فولادی و دقت سنجی با نتایج آزمایشگاهی**

با توجه به قابلیت هایی که روش عناصر محدود در حل مسائل پیچیده مهندسی دارد، از این روش و از نرم افزار ANSYS که مبتنی بر روش عناصر محدود می باشد استفاده شده است. در مدل سازی اجزاء محدود دیوار برشی فولادی فرضیات زیر مورد استفاده قرار گرفته است:

- جهت مدل سازی تیرها و ستون های قاب محیطی از المان BEAM188 استفاده شده است؛
- برای مدل سازی دیوار برشی از المان SHELL181 استفاده گردیده است؛
- رفتار غیر خطی مصالح به کمک گرینه های غیر خطی و ایزو تروبیک Miso و Biso که بترتیب یک مدل دو خطی و چند خطی هستند مدل سازی شده است؛
- رفتار غیر خطی هندسی در تمام تحلیل ها در نظر گرفته شده است؛
- استفاده از معیار تسلیم Von-Mises برای مصالح؛ سه نمونه مختلف جهت تصدیق نتایج حاصل از روش عناصر محدود در نظر گرفته شده است. نمونه اول یک قاب چهار طبقه است که توسط Lubell و همکارانش [۱۰] آزمایش

دیوار برشی فولادی یک سیستم باربر جانی در ساختمان ها می باشد که استفاده از آن در سازه های بلند در سال های اخیر با شتاب چشم گیری گسترش یافته است. در این سیستم کمانش ورق ها، در صورتی که به طور مناسب به قاب محیطی متصل شده باشند، به معنی خرابی سیستم نمی باشد و مقاومت پس کمانشی ورق جندین برابر مقاومت کمانش الاستیک آن است.

**۲- مروری بر مطالعات و تحقیقات آزمایشگاهی**

مطالعات بر روی مقاومت پس کمانشی ورق ها از سال ۱۹۳۱ آغاز شدند. در این راستا Basler جهت پیشگویی ظرفیت نهایی تیر ورق ها تحت اثر برش خالص در صرف نظر کردن از سختی بال ها، مدلی از میدان کششی ناقص را پایه گذاری کرد. بعد از آن Poter بال ها را مورد توجه قرار داد. Kulak ورق فولادی نازک را در پانل دیوار برشی توسط یک سری از نوارهای کششی مورب مدل سازی کرد.

جهت بررسی رفتار دیوار برشی فولادی آزمایشاتی از سال ۱۹۷۳ جهت بررسی رفتار این سیستم باربر جانی آغاز شد. Akiyama و Mimura و Takemoto (۱۹۷۳)، Akiyama، Mimura و Takanashi (۱۹۷۷) بر روی دوازده نمونه یک طبقه و دو نمونه دو طبقه، آزمایشات لرزه ای (رفت و برگشتی) انجام دادند [۱] و [۲]. Yamada (۱۹۹۲) بر روی دو نمونه یک طبقه آزمایشاتی را تحت بار گذاری افزایش یابنده به انجام رساند [۳]. Caccese و Elgaaly (۱۹۹۳-۱۹۹۸) طی دو مرحله، آزمایشاتی را تحت بار گذاری لرزه ای (رفت و برگشتی) بر روی هشت نمونه سه طبقه و هفت نمونه دو طبقه انجام دادند [۴] و [۵]. Yamada و Suqii (۱۹۹۶) بر روی چهارده نمونه یک طبقه، آزمایشات لرزه ای (رفت و برگشتی) را به انجام رساندند [۶]. Timler و همکاران (۱۹۹۸) با انجام مطالعاتی اعلام کردند که سیستم دیوار برشی فولادی در مقایسه با دیوارهای برشی بتی اقتصادی تر می باشند. [۷]. Bruneau و Berman (۲۰۰۵) بر روی شش نمونه یک طبقه، آزمایشات لرزه ای (رفت و برگشتی) را انجام دادند [۸].

در تحقیقات انجام شده، هدف عمد، بررسی رفتار پانل های دیوار برشی فولادی تحت اثر برش خالص بوده است در این میان چند نمونه ی چهار طبقه نیز ساخته شده است [۹]، [۷] و [۱۰] که در این نمونه ها اثر نیروهای خمشی بر رفتار کلی

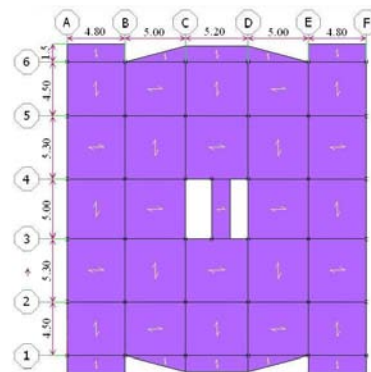


شکل ۲- مقایسه‌ی نحوه‌ی گسترش خرابی در نمونه آزمایشگاهی و نمونه‌ی عناصر محدود

در شکل (۲) نیز نحوه‌ی گسترش خرابی نمونه‌ی آزمایشگاهی و نمونه‌ی عناصر محدود با هم مقایسه شده‌اند.

#### ۴- تعریف مسأله و اهداف تحقیق

مطابق شکل (۳) پلان یک ساختمان که شرایط یک ساختمان منظم در پلان و ارتفاع را دارا می‌باشد و دیگر شرایط مندرج در آیین نامه‌ی ۲۸۰۰ را نیز ارضاء نماید، انتخاب شده است. جهت بررسی اثر افزایش ارتفاع و طبیعتاً افزایش اثر نیروهای خمشی و برشی توان، پنج نمونه‌ی دیگر با تعداد طبقات ۱۰، ۱۵، ۲۰، ۲۵، ۳۰ و پلان مشترک انتخاب گردیده‌اند.



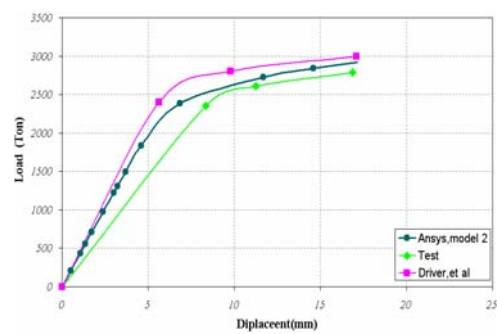
شکل ۳- پلان طبقات ساختمان و جهت تیرچه‌ریزی سقف

به کمک یکی از روش‌های طراحی، دیوارهای برشی بکار رفته در این ساختمان‌ها طراحی شدند. دیوارهای برشی فولادی طراحی شده برای شش ساختمان مورد مطالعه، به کمک روش عناصر محدود و نرم افزار ANSYS مدل‌سازی شدند. به کمک تحلیل‌های غیرخطی هندسی و مصالح، رفتار خرابی آنها در سازه‌های بلند و تحت اثر افزایش نیروهای خمشی و برشی مورد

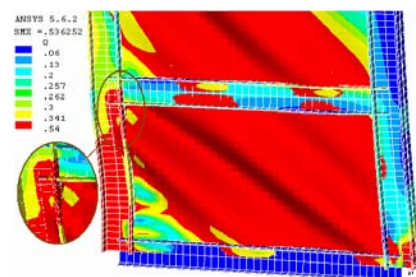
شده است. نمونه دوم قاب چهار طبقه‌ی آزمایش شده توسط Kulak و همکارانش [۱۳] است و در پایان یک قاب سه طبقه که توسط Casese, Elgaaly [۱۴] مورد آزمایش قرار گرفته بود به عنوان مدل شماره سه انتخاب گردید. در جدول (۱) مشخصات هر یک از نمونه‌های فوق شکل (۱) مقایسه‌ی نتایج بدست آمده از تحلیل اجزاء محدود برای مدل شماره دو با نتایج حاصل از آزمایش را نشان می‌دهد.

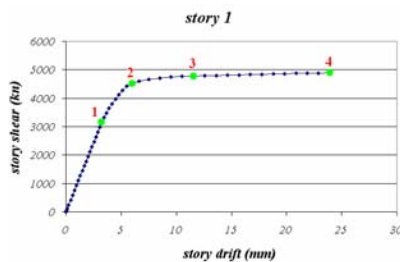
جدول ۱- جدول مشخصات نمونه‌ها

طبقه	نمونه شماره ۱					
	(a) طول دهانه (l)	(b) ارتفاع طبقه (h)	(a/b)	نسبت	تیر	ستون
M	M			S75×8	S75×8	0.0015
1	0.9	0.9	1	S75×8	S75×8	0.0015
2	0.9	0.9	1	S75×8	S75×8	0.0015
3	0.9	0.9	1	S75×8	S75×8	0.0015
4	0.9	0.9	1	S200×34	S75×8	0.0015
نمونه شماره ۲						
	3.05	1.927	1.58	W310×118	W310×60	0.0048
1	3.05	1.829	1.67	W310×118	W310×60	0.0048
2	3.05	1.829	1.67	W310×118	W310×60	0.0034
3	3.05	1.836	1.66	S530×82	W310×118	0.0034
نمونه شماره ۳						
	1.2446	0.8382	1.48	W3×5.7	W4×130	0.0027
1	1.2446	0.8382	1.48	W3×5.7	W4×130	0.0019
2	1.2446	0.8382	1.48	W3×5.7	W4×130	0.0008



شکل ۱- مقایسه‌ی نتایج تحلیل و آزمایش و نتیجه تحلیل Driver و همکاران





شکل ۶- نمودار برش- تغییر مکان نسبی طبقه اول در مدل ۴  
طبقه

جدول ۲- جدول مشخصات هندسی نمونه ها ۴ و ۳۰ طبقه

نمونه ۴ طبقه						
طبقه	طول (M)	ارتفاع طبقه (h)	نسبت (a/h)	نیتر	ستون	ضخامت ورق (M)
1	5	2.8	1.79	PL55x2/50x2.5	PL40x2/50x2.9	0.005
2-4	5	3.2	1.56	PL55x2/50x2.5	PL40x2/50x2.9	0.005
نمونه ۳۰ طبقه						
1	5	2.8	1.79	PL36x4/97x5.5	PL45x2/41x2.3	0.015
2-5	5	3.2	1.56	PL36x4/97x5.5	PL45x2/41x2.3	0.015
6-10	5	3.2	1.56	PL36x3.5/89x5	PL45x2/41x2.3	0.013
11-15	5	3.2	1.56	PL36x3.5/77x4.4	PL45x2/41x2.3	0.010
16-20	5	3.2	1.56	PL36x3/70x3.9	PL45x2/41x2.3	0.008
21-25	5	3.2	1.56	PL36x3/59x3.4	PL45x2/41x2.3	0.005
26-30	5	3.2	1.56	PL36x2.5/41x2.5	PL45x2/41x2.3	0.003

جدول ۳- جدول مشخصات مصالح نمونه های ۴ و ۳۰ طبقه

مشخصات تحلیل		مشخصات طراحی	
نام	مقدار	نام	مقدار
$M$ جرم واحد حجم،	$800 \frac{kg}{m^3}$	$F_y$ تنش تسلیم،	$24000 \times 10^6 \frac{kgf}{m^2}$
$W$ وزن واحد حجم،	$7850 \frac{kgf}{m^3}$	$F_u$ تنش گسیختگی،	$40000 \times 10^6 \frac{kgf}{m^2}$
$E$ مدول الاستیسیته،	$204 \times 10^{10} \frac{kgf}{m^2}$	قیمت واحد وزن	1

#### ۱-۷ مدل ۴ طبقه

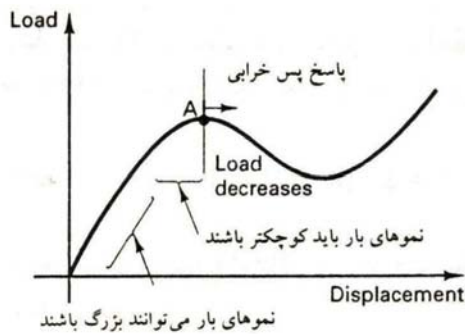
شکل (۶) نمودار برش طبقه - تغییر مکان نسبی طبقه اول را نشان می دهد که وضعیت سازه در شش تراز بار که روی این نمودار مشخص شده، بررسی قرار گرفته است.

- ضریب بار =  $0.85914$

در این تراز بارگذاری، رفتار سازه بدليل بروز اولین تسلیم شدگی در ستون طبقه اول از حالت خطی خارج می شود و سازه وارد مرحله‌ی غیرخطی می شود، شکل (۷).

- ضریب بار =  $0.9483$

بررسی قرار گرفتند برای طراحی دیوارهای برشی فولادی در این قسمت از روش پیشنهادی صبوری و همکارش [۱۲] استفاده شده است.



شکل ۴- پاسخ خرابی یک مدل سازه‌ای

#### ۶- بررسی وجود نقطه دو شاخگی (Bifurcation point)

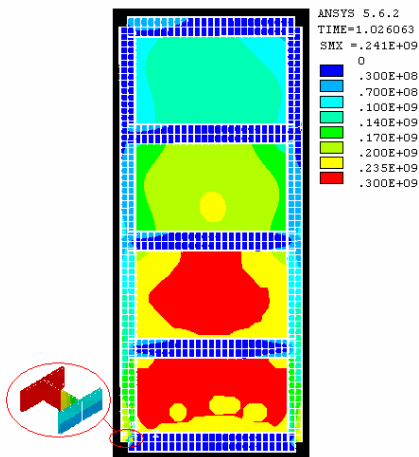
در ابتدا برای کلیه نمونه‌ها یک تحلیل غیرخطی هندسی، مصالح و بارگذاری افزایش یابنده به کمک روش حل معادلات انجام شده است که روش حل دقیق می‌باشد و نسبت به روش‌های حل تکراری دارای این مزیت است که نقاط حدی را مشخص می‌کند. با بررسی‌های انجام شده در تمام نمونه‌ها طبق شکل (۵) محل نقطه حدی در نمودار بار- تغییر مکان نسبی طبقات به عنوان نمونه، در بین نقطه (۳) و (۴) می‌باشد. بنابراین عملأً نقطه دو شاخگی وجود ندارد و نیازی به اعمال ناکاملی در سازه نیست.

#### ۷- بررسی رفتار خرابی

در این قسمت با نگاهی دقیق‌تر به نمودار بار- تغییر مکان، دنبال کردن تراز تنش، شکل پروفیل طولی ستون در صفحات بارگذاری و عمود بر صفحه‌ی بارگذاری و همچنین وضعیت کمانش خارج از صفحه ورق به جستجو و یافتن مکانیزم خرابی و نحوه عملکرد سازه از لحظه‌ی شروع بارگذاری تا زمان خرابی پرداخته شده است.

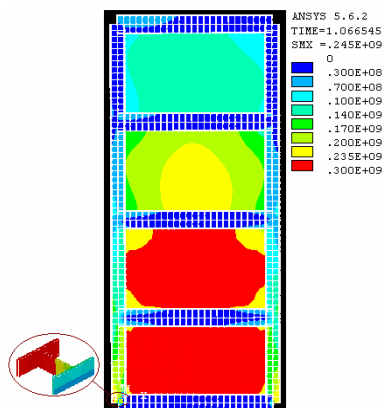
بعد از بررسی‌های انجام شده بروی تمام نمونه‌ها بدليل یکسان بودن روند خرابی در این قسمت، جهت اختصار فقط، بررسی‌های انجام شده بروی نمونه‌های ۴ و ۳۰ طبقه آورده شده است. در جدول (۲) و (۳) برتریب مشخصات هندسی و مصالح این دو نمونه آورده شده است

همانگونه که در شکل (۱۰) مشخص است، ورق در طبقه اول تقریباً بطور کامل تسلیم می‌شود.  
 - ضریب بار =  $1,066545$



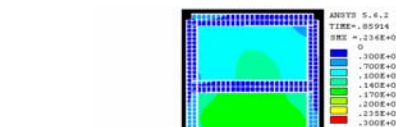
شکل ۱۰- تراز تنش در  $T = 1.026063$

همانگونه که در شکل (۱۱) مشخص است ورق طبقه اول و دوم به طور کامل تسلیم شده‌اند، ولی بجز پای ستون طبقه اول هیچگونه تسلیم شدگی در ستون طبقات دیگر رخ نمی‌دهد.  
 - ضریب بار =  $1,09525$



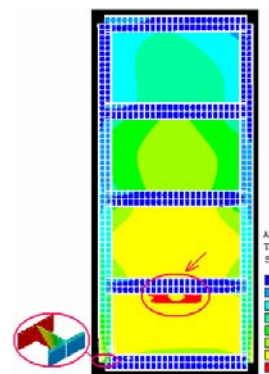
شکل ۱۱- تراز تنش در  $T = 1.066545$

مطابق شکل (۱۲)، در این تراز بارگذاری بدليل کامل شدن مکانیزم تشکیل مفصل پلاستیک در پای ستون طبقه اول سازه مقاومت خود را در برابر بارهای جانبی از دست می‌دهد.  
 شکل (۱۳) وضعیت کمانش ورق فولادی طبقه اول را در این تراز بار نشان می‌دهد



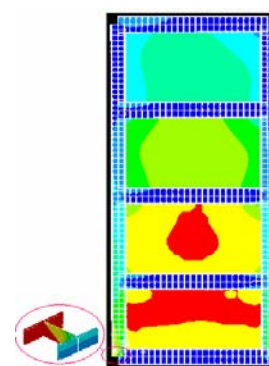
شکل ۷- تراز تنش در  $T = 0.85914$

همانگونه که در شکل (۸) مشاهده می‌گردد، روند کاهش سختی سازه بدليل بروز اولین تسلیم شدگی در ورق طبقه اول شدت می‌یابد.  
 - ضریب بار =  $0,993442$



شکل ۸- تراز تنش در  $T = 0.9483$

در این تراز بارگذاری، ورق فولادی در طبقه دوم نیز به حد تسلیم می‌رسد. نحوه گسترش تنش در ورق طبقه اول حاکی از حاکم بودن اثر برش بر رفتار سازه می‌باشد، شکل (۹).  
 - ضریب بار =  $1,026063$



شکل ۹- تراز تنش در  $T = 0.993442$

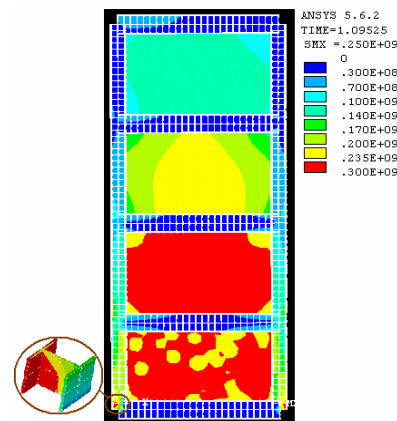
همان‌گونه که در شکل (۱۵) مشخص است، در این تراز بار بدليل بروز اولین تسلیم شدگی در پای ستون فشاری طبقه اول باعث شروع کاهش سختی سازه می‌گردد.

$$\text{- ضریب بار} = ۰,۲۶۷۷۸$$

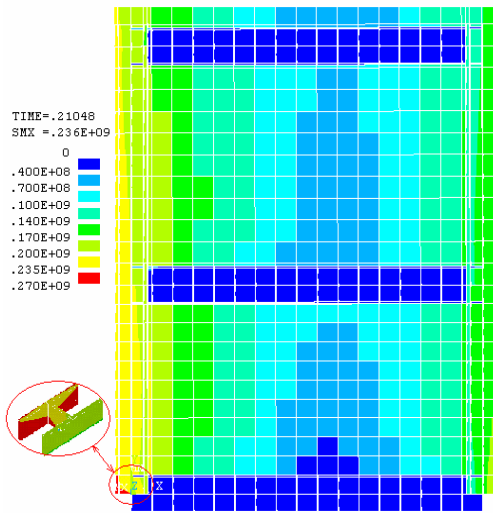
طبق بررسی‌های انجام شده بدلاطیل زیر روند کاهش سختی سازه، کاهش می‌یابد.

کمانش ستون طبقه اول در صفحه‌ی بارگذاری و در امتداد عمود بر صفحه‌ی بارگذاری

- کمانش ستون طبقه دوم در امتداد عمود بر صفحه‌ی بارگذاری.



شکل ۱۲- تراز تنش در  $T=1.095$



شکل ۱۵- تراز تنش در  $T=0.21048$

- طبقه سوم، نوع جاری شدگی ستون نشان از عملکرد خمشی و غالب بودن آن بر رفتار سازه است، (شکل (۱۶)).

- جاری شدن ورق در طبقات اول و دوم، (شکل (۱۶)).

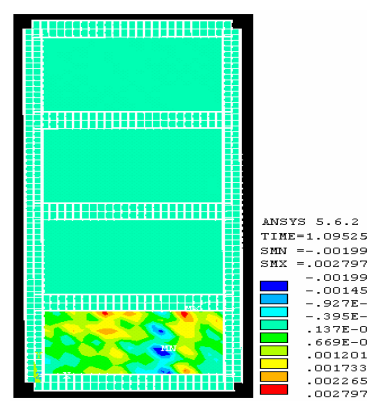
- تسلیم شدگی در پای ستون طبقات (۱، ۲، ۳، ۴ و ۵) ایجاد شده و در طبقه اول، ستون کاملاً جاری شده است، (شکل (۱۷)).

$$\text{- ضریب بار} = ۰,۲۷۵۲۸$$

همان‌گونه که در شکل (۱۸) مشخص است، نحوه‌ی تسلیم ستون طبقه‌ی ششم نشانگر عملکرد خمشی در این ناحیه است.

$$\text{- ضریب بار} = ۰,۲۸۱۵۹$$

بدليل کمانش خمشی، توزيع تراز تنش در ورق بصورت نامتقارن می‌باشد، شکل (۱۹).

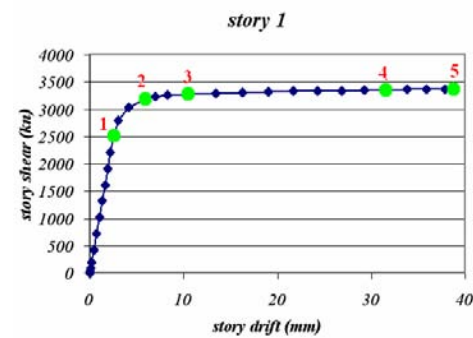


شکل ۱۳- تراز تنش در  $T=1.026063$

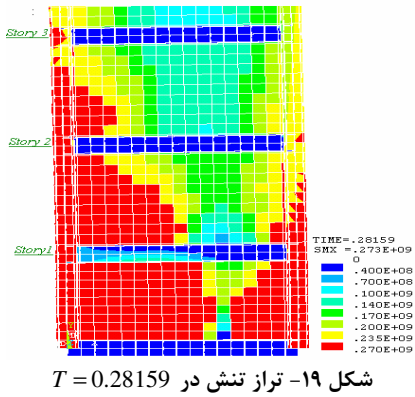
### ۳۰- مدل ۲-۷ طبقه

کل (۱۴) نمودار برش طبقه - تغییر مکان نسبی طبقه اول را نشان می‌دهد. وضعیت سازه در پنج تراز بار که روی این نمودار مشخص شده، مورد بررسی قرار گرفته است.

$$\text{- ضریب بار} = ۰,۲۱۰۴۸$$

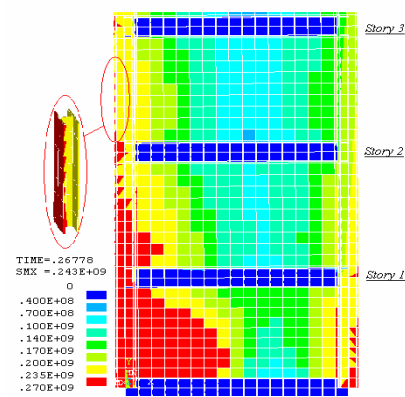


شکل ۱۴- نمودار برش- تغییر مکان نسبی طبقه اول در مدل طبقه ۳۰



- پای ستون در طبقه پنجم نیز به حد تسلیم می‌رسد، شکل (۲۱).

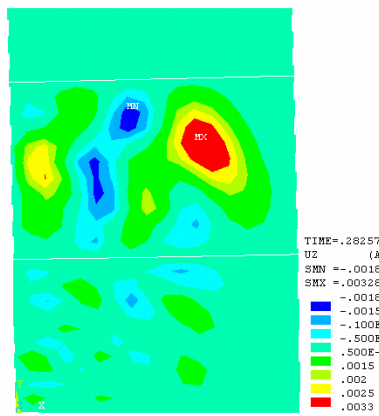
- نحوه گسترش ناحیه‌ی تسلیم شده در ستون طبقه چهارم، نشانگر عملکرد خشمی سیستم در این تراز است، شکل (۲۱).
- شکل (۲۲) نمایی از تراز تنش در پنج طبقه انتهائی این مدل را نشان می‌دهد.



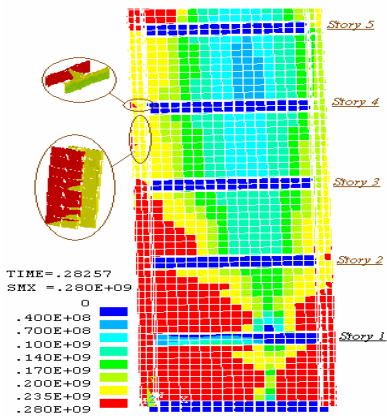
شکل ۱۶- تراز تنش در  $T = 0.26778$

۵- ضریب بار = .۲۸۲۵

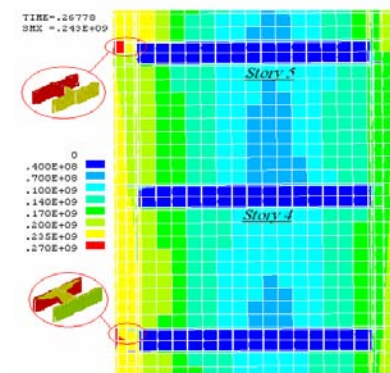
- با کماش خارج از صفحه ورق در طبقه اول و دوم، سازه مقاومت خود را در برابر بار جانبی از دست می‌دهد شکل (۲۰).
- همانگونه که در شکل (۲۰) مشخص است، کمانش خارج از صفحه ورق در زاویه‌ای بزرگ تر از ۴۵ درجه و در قسمت کمی از سطح ورق تشکیل شده است. دلیل این امر را می‌توان بر اثر نیروهای خمشی مربوط دانست.



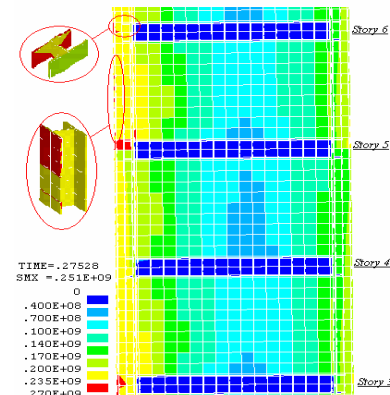
شکل ۲۰- تغییر مکان خارج از صفحه ورق



شکل ۲۱- تراز تنش در  $T = 0.28527$



شکل ۱۷- تراز تنش در  $T = 0.21048$



شکل ۱۸- تراز تنش در  $T = 0.27528$

رسیده است و سیستم به میزان ۱۰٪ اضافه باربری را تحمل کرده است. در نمونه‌ای دیگر با افزایش تعداد طبقات این نسبت به شدت کاهش می‌یابد.

#### جدول ۴- جدول مقایسه برش پایه طراحی و برش پایه خرابی

نمونه‌ها با انتقال مفصلی ورق به قاب محیطی			
طبقه	تعداد (KN)	برش پایه طراحی (KN)	برش پایه خرابی به برش پایه طراحی
۴	۲۸۱۵۶۷۶	۴۱۷۸۶۶	۱.۱۰
۱۰	۶۸۳۰۰۹	۴۹۴۹.۸۳	۰.۷۲
۱۵	۸۷۷۶۲۶	۴۶۲۲۴۵۳	۰.۵۵
۲۰	۹۶۳۳۶۷	۴۱۲۸.۴۱	۰.۴۳
۲۵	۱۰۹۰۰.۷۲	۲۵۳۱.۷۶	۰.۳۲
۳۰	۱۱۹۲۱.۱۷	۳۲۶۸.۵۷	۰.۲۸

#### ۸- بهبود عملکرد دیوارهای برشی فولادی

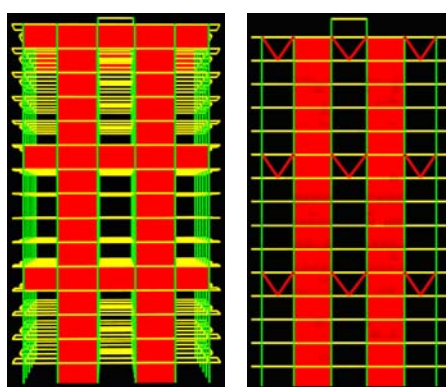
با توجه به مطلب فوق جهت استفاده از دیوار برشی فولادی تقویت نشده که با روش PFI طراحی شده‌اند در سازه‌های بلند

- ۲ راه حل به نظر می‌رسد:
- اصلاح شرایط مرزی
- اصلاح روش طراحی

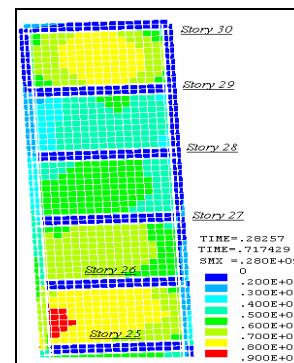
#### ۱-۸- اصلاح شرایط مرزی

با توجه به کاستی روش طراحی در تأمین ضربی اطمینان قابل قبول در سازه‌های بلند، اولین پیشنهاد، استفاده از سیستم‌هایی نظیر خرپایی کمرنندی، طبقه‌ی سخت و دیوارهای برشی بهم پیوسته ارائه گردید.

در شکل‌های (۲۵) و (۲۷) نمایی از این سیستم‌های سازه‌ای جدید را نشان می‌دهد.



شکل ۲۵- سیستم دیوار برشی با بازو

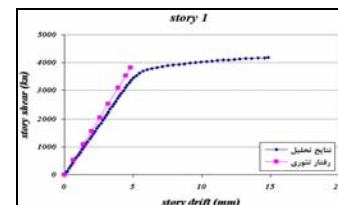


شکل ۲۲- تراز تنش در

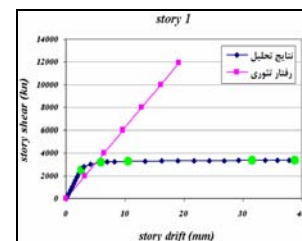
#### ۳-۷- مقایسه رفتار تئوری و نتایج تحلیل

در شکل (۲۳) و (۲۴) نمودارهایی جهت مقایسه‌ی رفتار تئوری با نتایج حاصل از تحلیل مدل عناصر محدود مدل ۴ طبقه و ۳۰ طبقه، ارائه شده است. با توجه به این نمودارها چنین می‌توان نتیجه گرفت که:

- بجز نمونه ۴ طبقه، دیگر نمونه‌ها در برش پایه‌ای کمتر از برش پایه طراحی دچار خرابی می‌شوند.
- سختی سیستم قبل از اولین تسیلم، نسبت به سختی پیش‌بینی شده در روش طراحی، در طبقات پائین محافظه‌کارانه و در طبقات بالا که اثر خمث ناچیز می‌باشد، از دقت قابل قبولی برخوردار است.

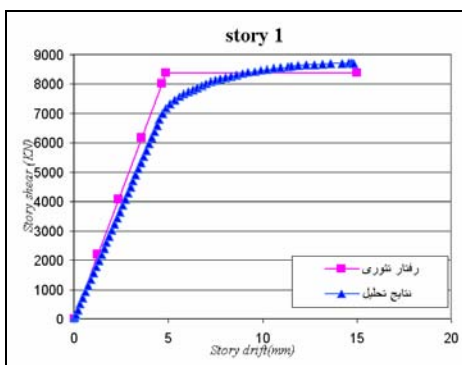


شکل ۲۳- نمودار بار-تغییر مکان طبقه‌ی اول نمونه ۴ طبقه

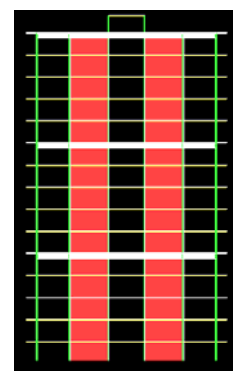


شکل ۲۴- نمودار بار- تغییر مکان طبقه‌ی اول نمونه ۳۰ طبقه

در جدول (۴)، میزان برش پایه طراحی و برش پایه خرابی برای هر شش نمونه با هم مقایسه شده و نسبت برش پایه خرابی به برش پایه طراحی نیز محاسبه شده است. همانگونه که مشاهده می‌شود، تنها در نمونه ۴ طبقه، این نسبت به ۱



شکل ۲۹- نمودار برش طبقه - تغییر مکان نسبی طبقه اول در نموه ۱۵ طبقه



شکل ۲۶- ایدهی طبقه‌ی سخت

## ۲-۸- بررسی رفتار خرابی دو نمونه ۱۵ و ۲۵ طبقه با شرایط مرزی جدید

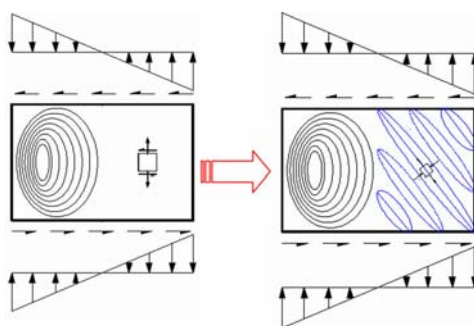
با بررسی گام به گام تراز تنش این سازه‌ها مشخص گردید که:

۱- هر ۲ نمونه به ۱۰۰٪ مقاومت نهایی پیش‌بینی شده رسیدند و بطور متوسط ۳۵٪ اضافه بارگذاری را نیز تحمل کردند؛

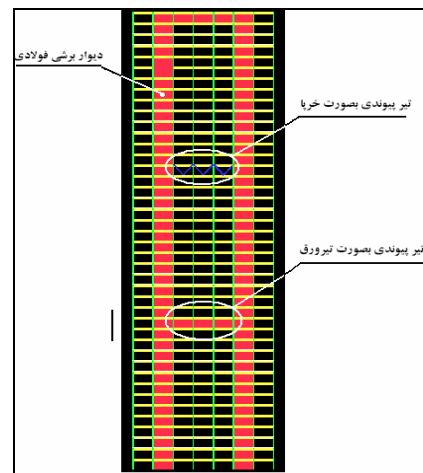
۲- سختی نمونه‌ها مطابقت بسیار خوبی با مقادیر پیش‌بینی شده توسط روش طراحی داشته‌اند؛

۳- روند خرابی، بصورت خرابی نرم بود و در آن تسلیم از ورق آغاز می‌شد. با تشکیل مفصل پلاستیک در پای ستون، سازه مقاومت خود در برابر بارهای جانبی جانبی را از دست می‌هد؛

در شکل (۳۰) نحوهی کمانش برشی ورق بعد از کمانش خمشی و وضعیت تنش‌ها نشان داده شده است.

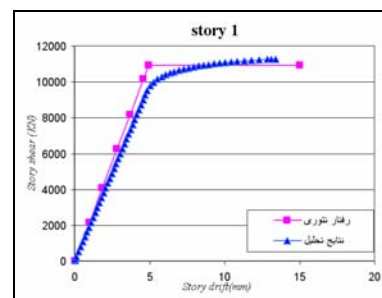


شکل ۳۰- نحوهی کمانش برشی ورق بعد از کمانش خمشی و وضعیت تنش‌ها



شکل ۲۷- دیوارهای به هم پیوسته

بنابراین در این قسمت با اعمال شرایط تکیه‌گاهی مناسب در نمونه‌های ۱۵ و ۲۵ طبقه، سعی شده شرایط واقعی در این سیستم‌ها، هر چند به صورت آیدهال مدل‌سازی گردد. در شکل (۲۹) و (۲۸) به ترتیب نتایج بدست آمده از تحلیل نمونه‌ها بعد از اصلاح شرایط مرزی برای دو نمونه ۱۵ و ۲۵ طبقه با رفتار تئوری نمونه‌ها مقایسه شده است.



شکل ۲۸- نمودار برش طبقه - تغییر مکان نسبی طبقه اول در نموه ۲۵ طبقه

جدول ۵- جدول مقایسه‌ی ممان اینرسی ستون

پالن	ممان اینرسی ستون (mm)	ممان اینرسی ستون در حالت اول (mm)	میزان افزایش	درصد افزایش
نمونه ۱۵ طبقه				
۱	$3.60E+09$	$4.78E+09$	$1.17E+09$	32.61%
۲	$2.41E+09$	$3.25E+09$	$8.46E+08$	35.16%
۳	$1.47E+09$	$1.90E+09$	$4.28E+08$	29.17%
میانگین				32.31%
نمونه ۲۵ طبقه				
۱	$4.21E+09$	$6.11E+09$	$1.89E+09$	44.87%
۲	$3.44E+09$	$4.79E+09$	$1.35E+09$	39.41%
۳	$2.57E+09$	$3.64E+09$	$1.07E+09$	41.52%
۴	$1.84E+09$	$2.47E+09$	$6.26E+08$	33.99%
۵	$1.02E+09$	$1.29E+09$	$2.75E+08$	26.91%
میانگین				37.34%

جدول ۶- جدول مقایسه‌ی ضخامت ورق

پالن	ضخامت ورق در حالت اول (mm)	ضخامت ورق در حالت دوم (mm)	میزان افزایش	درصد افزایش
نمونه ۱۵ طبقه				
۱	۱۰	۱۵	۵	۵۰.۰۰٪
۲	۷	۱۰	۳	۴۲.۸۶٪
۳	۴	۶	۲	۵۰.۰۰٪
میانگین				۴۷.۶۲٪
نمونه ۲۵ طبقه				
۱	۱۴	۲۰	۶	۴۲.۸۶٪
۲	۱۱	۱۶	۵	۴۵.۴۰٪
۳	۹	۱۲	۳	۳۳.۳۳٪
۴	۶	۹	۳	۵۰.۰۰٪
۵	۳	۵	۲	۶۶.۶۷٪
میانگین				۴۷.۶۶٪

جدول ۷- جدول مقایسه‌ی برش پایه

نمونه ۱۵ طبقه	برش پایه طراحی (KN)	برش پایه خرابی در حالت اول (KN)	برش پایه خرابی در حالت دوم (KN)	افزایش	درصد افزایش
	۸۳۷۵.۳۵	۴۶۲۳.۵۳	۶۵۴۷.۸۴۸۶۳	۲۲.۹۸٪	
نمونه ۲۵ طبقه	۱۰۹۶۴.۷۲	۳۵۳۱.۷۶	۵۴۷۷.۲۰۶۵۸۲	۱۷.۷۴٪	

در شکل (۳۱) نتایج بدست آمده از تحلیل های غیر خطی هندسی، مصالح و بارگذاری افزایش یابنده نمونه ۲۵ طبقه با رفتار تئوری مقایسه شده است.

از این مرحله به بعد با افزایش تنش‌های برشی در نیمه‌ی دیگر ورق و رسیدن به تنش برشی بحرانی، میدان کشش قطعی در آن تشکیل می‌شود. در تحقیقات آزمایشگاهی بر روی دیوار برشی فولادی با ورق نازک، زاویه‌ی تشکیل میدان کشش قطعی حدوداً بین ۳۵ تا ۵۵ درجه گزارش شده است. طبق توصیه‌ی صبوری اتخاذ مقدار ۴۵ درجه به جای حد ۳۵ یا ۵۵ درجه به میزان اندکی مقاومت برشی نهایی ورق فولادی را کاهش می‌دهد (حدود ۶٪) و می‌توان از آن صرف‌نظر کرد [۱۴]. با توجه به مطالب بالا در طراحی دو نمونه‌ی ۱۵ و ۲۵ طبقه با فرض زیر روند طراحی اصلاح گردید:

- میدان کشش قطعی بدليل کمانش خمشی ورق در نصف دهانه تشکیل می‌شود؛
- زاویه‌ی تشکیل میدان کشش قطعی برابر ۴۵ درجه می‌باشد.

دستور صریح آیین نامه AISC در مورد کمانش جان تیر ورق‌ها در اثر خمش به صورت زیر بیان می‌باشد [۱۵]:

اگر نسبت ارتفاع جان به ضخامت جان کمتر از  $6372/\sqrt{F_b}$  باشد، هیچگونه کاهشی در تنش بال تحت فشار لازم نیست. در صورت تجاوز از این مقدار، حداقل تنش مجاز بال تحت فشار ( $F'_b$ ) از رابطه‌ی زیر به دست می‌آید:

$$F'_b = F_b \left[ 1.0 - 0.0005 \frac{A_w}{A_f} \left( \frac{h}{t} - \frac{6372}{\sqrt{F_b}} \right) \right] \quad (1)$$

در این مرحله ۲ نمونه‌ی ۱۵ و ۲۵ طبقه با اعمال تغییرات در روش طراحی دیوارهای برشی مورد استفاده در سازه‌های بلند طراحی گردیدند.

همانگونه که در جدول (۵) و (۶) مشخص است، میزان ممان اینرسی ستون در نمونه‌ی ۱۵ طبقه بطور متوسط ۳۲.۳٪ و در نمونه‌ی ۲۵ طبقه ۳۷.۳٪ افزایش یافته است ولی برش پایه خرابی در نمونه ۱۵ طبقه حدوداً ۲۳٪ و در نمونه ۲۵ طبقه ۱۷٪ افزایش داشته است. جدول (۷) مقایسه بین برش پایه خرابی این نمونه‌ها با حالت قبل را نشان می‌دهد.

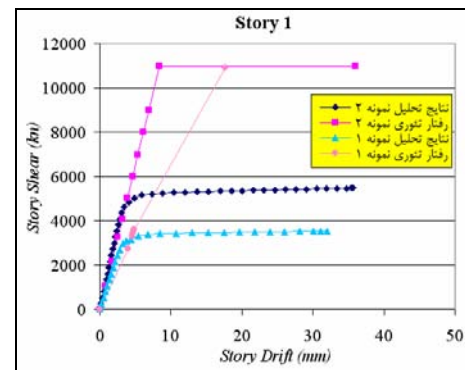
#### ۱۰- نتیجه‌گیری

باتوجه به مطالعات انجام شده بر روی دیوارهای برشی فولادی سخت نشده بکار رفته در ساختمان‌های متوسط و بلند مرتبه مشخص شد که نمونه‌هایی که براساس برش خاص طراحی شده‌اند رفتار مناسبی ندارند. در این سازه‌ها، بدلیل اینکه دیوار برشی تحت اثر توان نیروهای برشی و خمشی قرار دارد، نایابی‌هایی خمشی بوجود آمده بر روی ظرفیت برشی ورق تأثیر گذاشته و باعث بروز رفتار خرابی ترد در این سازه‌ها می‌گردد. جهت رفع این مشکل اساسی، توصیه‌های زیر برای طراحی این سیستم جهت استفاده در سازه‌های متوسط و بلند ارائه شده است:

- در سازه‌های بلند باید مکانیزمی از قبیل استفاده از سیستم‌های سازه‌ای جدید، جهت کنترل تغییر مکان‌های خمشی دیوارهای برشی فولادی سخت نشده اتخاذ شود؛
- در سازه‌های بلند و در طبقات پایین از دیوارهای برشی فولادی سخت شده استفاده شود.
- در طبقاتی که اثر خمش و نایابی‌های کمانشی زیاد است از دیوارهای برشی بتنی استفاده شود؛
- ستون‌ها در طبقات پایین به طور مناسب تقویت شوند؛
- اثر نایابی‌های خمشی بر روی ظرفیت برشی ورق در نظر گرفته شود؛
- روش اصلاح شرایط مرزی نسبت به روش دوم برای طراحان کاربردی‌تر است زیرا هم دارای رفتار مناسب است و هم اینکه از نظر اجرائی کاربردی‌تر می‌باشد.
- در روش طراحی اصلاح شده، میزان افزایش برش پایه خرابی در مقابل افزایش در ضخامت ورق و ممان اینرسی ستون‌ها ناچیز به نظر می‌رسد.

#### نمادها

ارتفاع جان تیر ورق (سانتیمتر)	$h$
ضخامت جان تیر ورق (سانتیمتر)	$t$
مساحت جان (سانتیمتر مربع)	$A_w$
مساحت یک بال (سانتیمتر مربع)	$A_f$
تنش مجاز بال فشاری (کیلوگرم بر سانتیمتر مربع)	$F_b$
تنش مجاز کاهش یافته‌ی بال تحت فشار (کیلوگرم بر سانتیمتر مربع)	$F'_b$

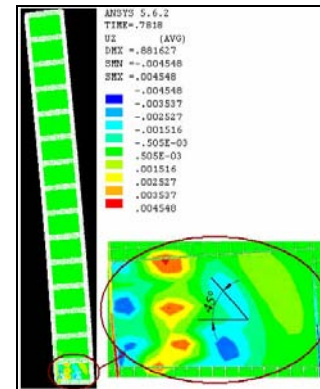


شکل ۳۱- مقایسه تراز برش پایه خرابی و برش پایه طراحی در نمونه ۲۵ طبقه

#### ۱-۹- بررسی رفتار خرابی دو نمونه ۱۵ و ۲۵ طبقه با شرایط طراحی جدید

Riftar خرابی نمونه‌های ۱۵ و ۲۵ طبقه طی تحلیل‌های غیرخطی هندسی، مصالح و بارگذاری افزایش‌بابنده مورد بررسی قرار گرفت و نتایج زیر حاصل گردید:

- کاهش سختی با بروز اولین تسلیم شدگی در پای ستون طبقه‌ی اول آغاز می‌گردد و با گسترش چشم‌گیر جاری شدگی در ستون فشاری، گسترش کنترل تسلیم شدگی در ورق، کمانش خارج از صفحه و در صفحه‌ی بارگذاری ستون طبقه‌ی اول و دوم و کاهش سختی سیستم شدت می‌گیرد. نحوه‌ی کمانش ورق در این نمونه مطابقت کامل با فرضیات در نظر گرفته شده در روش طراحی اصلاح شده دارد در شکل (۳۲) نحوه‌ی کمانش ورق در نمونه ۱۵ طبقه را در تراز برش پایه خرابی نشان می‌دهد.



شکل ۳۲- تراز تغییر مکان خارج از صفحه در  $T=0.7818$

- [9] Lubell, A. S., "Performance of Unstiffened Steel Plate Shear Walls under Cyclic Quasi-Static Loading", M.A.Sc. Thesis, Department of Civil Engineering, University of British Columbia, Vancouver, BC, Canada, (1997).
- [10] Lubell, A. S.; Prion, H. G. L.; Ventura, C. E.; Rezai, M., "Unstiffened Steel Plate Shear Wall Performance Under Cyclic Loading", Journal of Structural Engineering, 126 [4], 453-460 (2000).
- [11] Canadian Standards Association (CSA), "Limit states design of steel structures", CAN/CSA S16-01, Canadian Standards Association, Willowdale, Ont., Canada, (2001).
- [12] Sabouri-Ghomí, S.; Ventura, C. E.; Kharrazi, M. H. K., "Shear Analysis and Design of Ductile Steel Plate Walls", Journal of Structural Engineering, 131 [6], 878-889 (2005).
- [13] Driver, R. G.; Kulak, L.; Elwi, A. E.; Kennedy, D. J. L., "Seismic Behavior of Steel Plate Shear Walls", Structural Engineering Rep. No 215, Dept. of Civil Engineering, Univ. of Alberta, Edmonon, Alberta, Canada, 1997.
- [۱۴] صبوری، سعید "سیستم‌های مقاوم در برابر بارهای جانبی مقدمه‌ای بر دیوارهای برشی فولادی" - نشر انگیزه-۱۳۸۰.
- [15] AISC, Seismic Provisions for Structural Steel Buildings, American Institute of Steel Construction Inc., Chicago, 1997.

## مراجع

- [1] Takanashi, Y.; Takemoto, T.; Tagaki, M, "Experimental Study on Thin Steel Shear Walls and Particular Bracing under Alternative Horizontal Load" Preliminary Report, IABSE, Symp. On Resistance and Ultimate Deformability of Tsructures Acted on by Well-defined Repeated Loads, Lisbon, Portugal, 1973.
- [2] Mimura, H.; Akiyama, H., "Load-Deflection Relationship of Earthquake –Resistant Steel Shear Walls with a Developed Diagonal Tension Field", Transactions of AIJ, 260, 1977 (in Japanese).
- [3] Astaneh-Asl, A., "Seismic Behavior and Design of Steel Shear Walls", Steel TIPS Report, Structural Steel Eduocational Council, Morgan, CA, 2001.
- [4] Caccese, V.; Elgaaly, M., "Experimental Study of Thin Steel-Plate Shear Walls under Cyclic Load", J. of Str. Engrg., ASCE, 119[2], 573-587 (1993).
- [5] Elgaaly, M., "Thin Steel Plate Shear Walls Behavior and Analysis", Thin-Walled Structures, 32, 151-180 (1998).
- [6] Sugii, K.; Yamada, M., "Steel Panel Shear Walls with and Without Concrete Covering", Proceedings on CD-Rom, 11th World Conference on Earthquake Engrg. Acapulco, Mexico, Paper [403], (1996)
- [7] Driver, R. G.; Kulak, L.; Elwi, A. E.; Kennedy, D. J. L., "FE and Simplified Models of Steel Plate Shear Wall", Journal of Structural Engrg., ASCE, 124 [2], 121-130 (1998).
- [8] Berman, J. W.; Chelik, O. C.; Brouneau, M., "Comparing Hysteretic Behavior of Light-Gauge Steel Plate Shear Walls and Braced Frame", Engineering Structures, 27, 475-485 (2005).